

$$\begin{aligned}
 & + \int_{-\infty}^{\infty} \{ H^*(t_1, \omega) \varepsilon_k \omega_{\varepsilon_1, k}^{(T)} + \dots + H^*(t_1, \omega) \varepsilon_k \omega_{\varepsilon_1, k}^{(T)} \} \hat{S}_{z_0}(\omega) \left[\begin{array}{c} \Phi \\ \vdots \\ \Phi \end{array} \right] H_k^T(t_1, \omega) \Phi \\
 & + \Phi(t_1, t_2) \int_{-\infty}^{\infty} \left[\begin{array}{c} \Phi \\ \vdots \\ \Phi \end{array} \right] H_k(t_2, \omega) \cdot \hat{S}_{z_0}(\omega) \{ \omega_{\varepsilon_1, k} H^*(t_2, \omega) \omega_{\varepsilon_1, k} + \dots + \omega_{\varepsilon_1, k} H^*(t_2, \omega) \omega_{\varepsilon_1, k} \} \\
 & + \int_{-\infty}^{\infty} \{ H(t_1, \omega) \varepsilon_k \omega_{\varepsilon_1, k} H^*(t_2, \omega) \omega_{\varepsilon_1, k} + \dots + \omega_{\varepsilon_1, k} H^*(t_2, \omega) \omega_{\varepsilon_1, k} \} \hat{S}_{z_0}(\omega) \omega_{\varepsilon_1, k} \\
 & + H(t_1, \omega) \varepsilon_k \{ \omega_{\varepsilon_1, k} H^*(t_2, \omega) \omega_{\varepsilon_1, k} + \dots + \omega_{\varepsilon_1, k} H^*(t_2, \omega) \omega_{\varepsilon_1, k} \} \hat{S}_{z_0}(\omega) \omega_{\varepsilon_1, k} \dots \quad (5)
 \end{aligned}$$

表-1 橋梁の構造諸元

スパン長 (m)	40	50
単位長当り重量 (t/m)	2.67	2.72
断面2次モーメント (m ⁴)	0.16238	0.20095
1次固有振動数 (Hz)	2.94	2.45
減衰定数	0.032	0.02

表-2 車両諸元

重量 (t)	20.0, 15.0
固有振動数 (Hz)	35.2, 24.2, 18.9
減衰定数	27.4, 26.7, 29.0
走行速度 (m/sec)	3.0
車間間隔 (m)	0.03
	10.0
	14.0

ここに、 $E[\omega_{\varepsilon_0}, \omega_{\varepsilon_0}^T] = \int_{-\infty}^{\infty} H_k(t_1, \omega) \omega_{\varepsilon_0} \hat{S}_{z_0}(\omega) H_k^T(t_1, \omega) \omega_{\varepsilon_0}^T d\omega$, $\hat{S}_{z_0}(\omega) = \frac{1}{2\pi} \int_{-\infty}^{\infty} S_{z_0}(\tau) e^{j\omega\tau} d\tau$ 路面凹凸
 $H_k(t_1, \omega) = \int_{-\infty}^{\infty} \Phi_k(t_1, \tau) B_k e^{j\omega\tau} d\tau$, $\omega_{\varepsilon_0} = \begin{bmatrix} 1 & j\omega \\ -j\omega & 1 \end{bmatrix}$ パワースペクトル
 $H(t_1, \omega) \varepsilon_k = \int_{-\infty}^{\infty} \Phi(t_1, \tau) B e^{j\omega\tau} d\tau$, $\omega_{\varepsilon_1} = \begin{bmatrix} -\omega e^{j\omega(t_1 - t_2)} \\ \omega e^{j\omega(t_2 - t_1)} \end{bmatrix}$, $\omega_{\varepsilon_2} = \begin{bmatrix} -\omega e^{j\omega(t_2 - t_1)} \\ \omega e^{j\omega(t_1 - t_2)} \end{bmatrix}$
 $\Phi(t, \tau)$: 状態遷移行列

記号は文献1)を参照されたい。

3. 数値計算結果

(1)表-1に示す単純桁橋を対象として、図-2に示す路面凹凸パワースペクトルモデル $S_{z_0}(\Omega) = A/(\Omega^2 + a^2)$ を用いた場合のスパン中央におけるたわみの標準偏差について本解法、岡林の共分散方程式による解法及びシミュレーションによる解法の結果を図-3に併記する。これより本解析結果は、共分散方程式による解よりも若干大きい値を示すが、シミュレーションによる解のほぼ上限に相当し、本解析値は安全側の値を与える。
 (2)図-4によると、実測路面スペクトル(図-2の②)をそのまま用いた場合の本解析結果は、それをモデル化したパワースペクトル $S_{z_0}(\Omega) = A/(\Omega^2 + a^2)$ を用いた場合よりもかなり小さくなり、実測値を入力データとして用いることができる本解法の特徴が示されている。

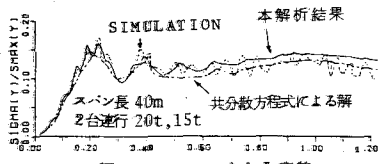


図-3 r.m.s. たわみ応答

(3)図-5より、車両を2自由度系にモデル化した場合は1自由度系にモデル化した場合と比較して、たわみの標準偏差が約6~7割となる。スパン長100m以下の単純桁橋の動的応答を考慮する場合、大型トラックの実際の軸数に合わせて走行車両をモデル化するのが望ましいと考えられる。

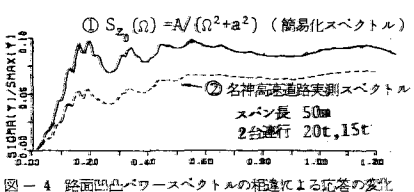


図-4 路面凹凸パワースペクトルの相違による応答の変化

(4)図-6によると、設計活荷重1-20相当荷重別(20t, 15t, 15t)を用いた場合及び上述と同じ意味の実測荷重強度を用いた2つの場合とを互いに比較して、たわみの標準偏差に顕著な差異が認められ、連行荷重のそれぞれの荷重強度が橋梁の応答に及ぼす影響の大きいことが分かる。

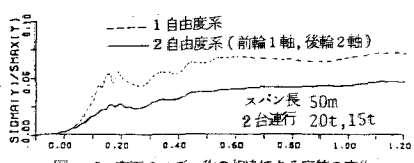


図-5 車両のモデル化による応答の変化

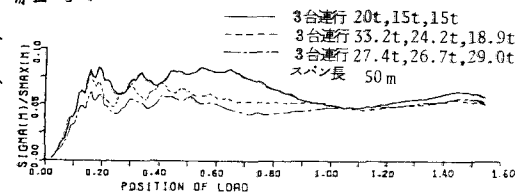


図-6 荷重強度の相違による応答の変化

[参考文献] 1)小松・川行・福井, 土木学会関西支部年講概要, I-18, 1980.6.
 2)川行・小松: 土木学会第35周年講概要, I-163, 1980.9. 3)成田・横山・桂樹, 土木研究所資料, No.1232, 1977.3 4)山口・岡林・河野, 土木学会西部支部研究所発表会, 1981.2.